

## Mittlere Örter der Vergleichsterne.

*	$\alpha$	$\delta$	Autorität	*	$\alpha$ 1912.0	$\delta$ 1912.0	Autorität
1	1911.0 2 <sup>h</sup> 50 <sup>m</sup> 40 <sup>s</sup> 06	1911.0 + 0° 4' 39".8	AG Nic 610	5	10 <sup>h</sup> 21 <sup>m</sup> 46 <sup>s</sup> 67	+10° 57' 7".8	AG Lpz I 4021
2	2 43 56.70	+ 5 28 30.3	AG Lpz II 1041	6	10 35 18.62	+19 42 1.1	AG Berl A 4224
3	5 43 13.34	+ 6 25 23.8	» 2411	7	10 33 2.49	+20 26 0.9	AG Berl B 4068
	1912.0	1912.0		8	11 9 4.43	+ 3 14 52.2	AG Alb 4222
4	7 13 42.80	+30 6 51.2	Oxfph Pl. 2101 Nr. 18487	9	11 16 37.10	+ 5 21 48.0	AG Lpz II 5776
				10	6 45 38.28	+32 15 44.6	AG Lei 2845

Breslau, 1912 April 17.

L. Mewes.

## Petites planètes et comètes

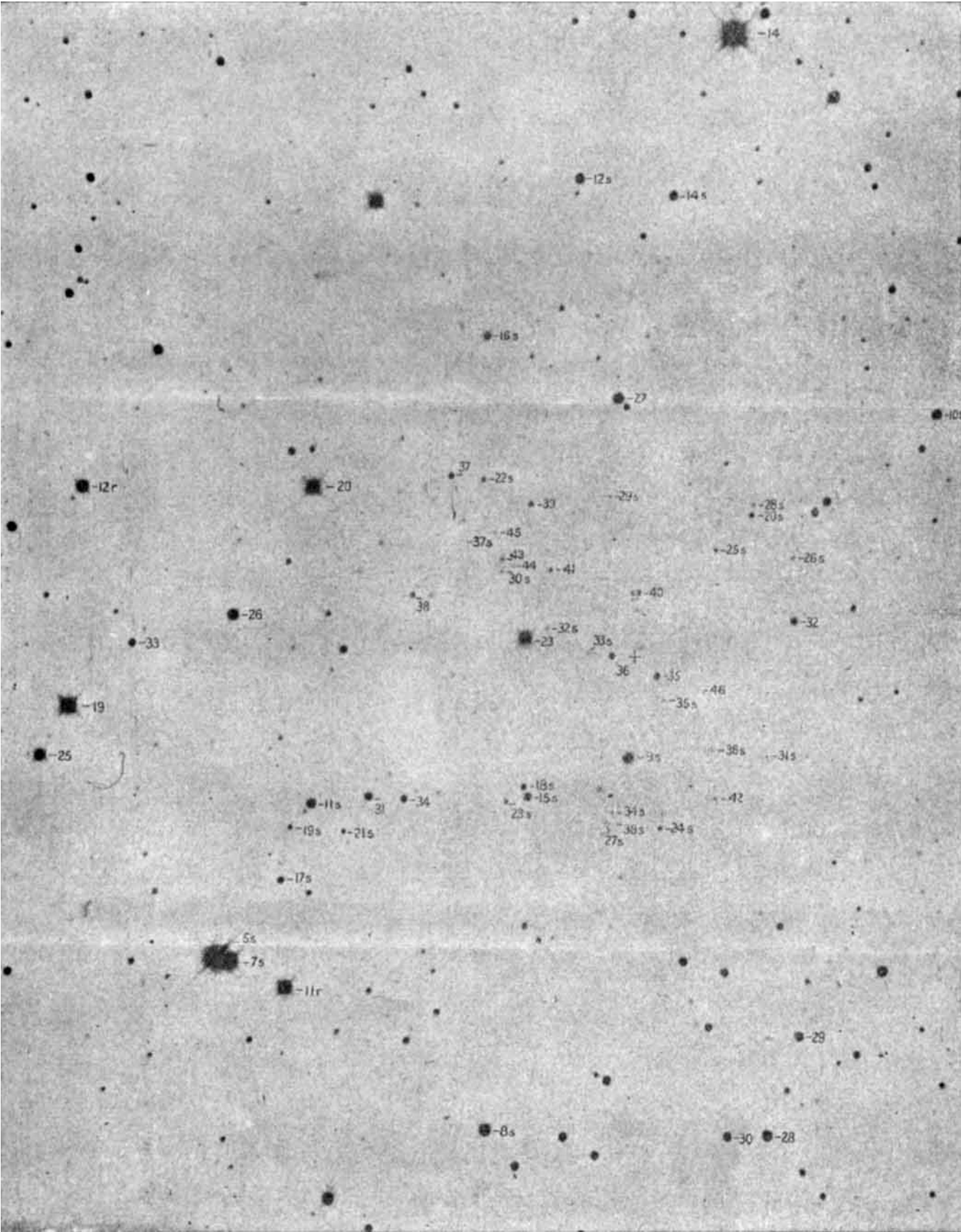
observées à l'Equatorial de 10 pouces de l'Observatoire de Genève.

Date	T. m. Gen.	$\Delta\alpha$	$\Delta\delta$	Cp.	Obs.	$\alpha$ app.	Parall.	$\delta$ app.	Parall.	Red. ad l. app.	*
241 Germania.											
1910											
Juill. 13	9 <sup>h</sup> 29 <sup>m</sup> 45 <sup>s</sup>	-0 <sup>m</sup> 41 <sup>s</sup> 95	- 5' 18".4	6,6	GP	19 <sup>h</sup> 39 <sup>m</sup> 9 <sup>s</sup> 00	-0 <sup>s</sup> 15	-18° 27' 16".1	+4".0	+2 <sup>s</sup> 39 + 1".3	1
14	9 41 16	+0 36.36	- 2 47.0	6,6	GP	19 38 16.75	-0.14	-18 27 26.2	+4.1	+2.41 + 1.2	2
82 Alkmene.											
Déc. 20	6 48 28	+0 51.15	-12 40.3	6,6	GP	4 27 14.64	-0.27	+25 29 8.5	+3.1	+3.97 +14.5	3
704 Interamnia.											
1911											
Janv. 6	6 45 48	+1 14.22	- 3 28	6,6	P	0 58 37.73	+0.04	+24 7 32.7	+1.4	-0.86 + 3.7	4
8	7 0 23	+0 15.52	+ 2 14.6	6,6	P	1 0 49.56	+0.06	+24 2 42.5	+1.5	-0.86 + 3.7	5
18	6 53 21	+0 7.08	- 3 23.9	6,6	P	1 12 37.55	+0.07	+23 47 19.0	+1.4	-0.92 + 3.3	6
79 Eurynome.											
Avril 25	8 8 27	-0 45.48	-13 13.0	3,3	P	12 13 55.71	-0.10	- 3 2 49.1	+3.5	+1.28 - 9.2	7
Comète de Faye 1910e.											
1910											
Nov. 26	7 12 13	-0 14.86	+ 2 3.3	8,8	P	3 36 56.20	9.554n	+ 5 3 19.7	0.781	+3.29 +16.0	8
Déc. 20	7 44 28	+0 25.58	- 2 4.5	6,6	P	3 40 17.16	9.315n	+ 3 7 50.7	0.780	+3.27 +15.0	9
Comète 1911c (Brooks).											
1911											
Sept. 18	7 20 33	-1 39.62	- 3 5.9	3,3	P	16 12 9.98	+0.50	+55 22 57.8	+0.1	+0.28 + 6.9	10
18	7 30 3	-1 20.12	- 2 31.7	3,3	P	16 12 4.82	+0.50	+55 22 49.0	+0.1	+0.28 + 6.9	11
25	7 15 25	-0 4.00	+ 4 58.2	7,7	P	14 56 54.37	+1.11	+49 52 12.4	+4.4	+0.12 + 1.2	12
Comète 1911f (Quénisset).											
Sept. 25	9 8 51	+3 42.35	- 3 59.4	1,2	P	14 43 30.15	+3.06	+71 6 22.7	+1.1	-1.38 - 0.2	14
26	7 24 4	+3 12.14	- 1 42.7	2,2	P	14 50 8.64	+1.19	+69 10 20.1	+0.6	-1.26 + 0.1	15
26	7 24 4	-2 59.61	+ 2 22.2	2,2	P	14 50 9.40	+1.19	+69 10 23.7	+0.6	-1.25 + 0.5	16
27	7 15 47	+1 25.28	+ 8 1.4	3,3	P	14 56 8.54	+1.07	+67 6 35.0	+0.6	-1.05 + 0.4	17
Oct. 18	7 1 7	-0 11.99	+ 2 25.2	8,8	P	15 38 27.60	+0.40	+29 57 2.6	+4.1	+0.36 - 2.7	18
19	6 55 29	-0 29.99	- 8 46.9	9,9	P	15 39 9.09	+0.38	+28 37 8.6	+4.1	+0.37 - 3.0	19
20	7 44 34	+0 50.96	+ 8 55.2	4,4	P	15 39 50.88	+0.39	+27 16 27.2	+4.7	+0.40 - 3.3	20
24	7 37 24	+1 57.45	-12 0.9	5,5	P	15 42 2.98	+0.35	+22 25 10.2	+4.7	+0.46 - 4.4	21
30	7 12 53	+2 4.32	+11 29.8	8,8	P	15 44 23.14	+0.31	+15 59 34.9	+4.4	+0.54 - 6.0	22
Nov. 1	6 3 8	+0 49.73	+ 0 46.8	8,8	P	15 44 54.76	+0.29	+14 4 37.7	+4.1	+0.56 - 6.4	23
7	6 9 56	+1 15.92	+ 0 41.0	8,8	P	15 46 5.83	+0.27	+ 8 36 42.3	+4.1	+0.64 - 7.7	24

Positions moyennes des étoiles de comparaison référées au commencement de l'année d'observation.

*	$\alpha$	$\delta$	Autorité	*	$\alpha$	$\delta$	Autorité
1	19 <sup>h</sup> 39 <sup>m</sup> 48 <sup>s</sup> 56	-18° 21' 59".0	Bord <sub>90</sub> 5957	3	4 <sup>h</sup> 26 <sup>m</sup> 19 <sup>s</sup> 52	+25° 41' 34".3	AG Cbr E. 2100
2	19 37 37.98	-18 24 40.4	» 5947	4	0 57 24.37	+24 10 31.8	AG Berl B 315

*E. C. Pickering.* Standard Nord-Polar-Größenfolge.



Skala 5" = 1 mm. Mt. Wilson 60 inch Reflektor.

*	$\alpha$	$\delta$	Autorité	*	$\alpha$	$\delta$	Autorité
5	1 <sup>h</sup> 0 <sup>m</sup> 34 <sup>s</sup> 90	+24° 0' 24".2	AG Berl B 329	15	14 <sup>h</sup> 46 <sup>m</sup> 57 <sup>s</sup> 76	+69° 12' 2".7	AG Chri 2209
6	1 12 31.39	+23 50 39.6	" 386	16	14 53 10.26	+69 8 1.0	" 2224
7	12 14 39.91	- 2 49 26.9	AG Strb 4554	17	14 54 44.31	+66 58 33.2	" 2229
8	3 37 7.77	+ 5 1 0.4	Tou ph No. 80 de 3 <sup>h</sup> 40 <sup>m</sup>	18	15 38 39.23	+29 54 40.1	AG Cbr E. 7298
9	3 39 48.31	+ 3 9 40.2	AG Alb 1904	19	15 39 38.71	+28 45 58.5	" 7307
10	16 13 49.32	+55 25 56.8	10 <sup>m</sup> 2, rel. à 13 le 24 Oct.	20	15 38 59.52	+27 7 35.3	" 7299
11	16 13 24.66	+55 25 13.8	10 <sup>m</sup> 0, " "	21	15 40 5.07	+22 37 15.5	AG Berl B 5396
12	14 56 58.25	+49 47 13.0	AG Bo 9730	22	15 42 18.28	+15 48 11.1	AG Berl A 5644
13	16 15 30.81	+55 21 51.0	AG Hels 8732	23	15 44 4.47	+14 3 57.3	AG Lpz I 5500
14	14 39 49.18	+71 10 22.3	AG Berl C 1986	24	15 44 49.27	+ 8 36 9.0	AG Lpz II 7090

Comparaison des observations avec les éphémérides (O - C).

1910	$\Delta\alpha$	$\Delta\delta$	1910	$\Delta\alpha$	$\Delta\delta$	1911	$\Delta\alpha$	$\Delta\delta$
241 Germania. [B. J. 1912].			82 Alkmene. [B. J. 1912].			79 Eurynome. [B. J. 1913].		
Juill. 13	-3 <sup>s</sup> 97	-14".7	Déc. 20	-1 <sup>s</sup> 42	-2".2	Avril 25	+0 <sup>s</sup> 68	+11".6
14	-4.26	-11.8						

Remarques.

Les positions des petites planètes marquées GP ont été relevées par mon fils *Gustave*.

Comète *Faye* 1910e. 1910 Nov. 26. Grandeur 11<sup>m</sup>0. La comète semble avoir un prolongement du côté opposé à l'étoile de comparaison, mais bien faible. — Déc. 20. Gr. 11<sup>m</sup>6. La comète se présente sous la forme d'une nébuleuse extrêmement faible, et il faut clignoter avec l'éclairage des fils pour faire les pointés. De temps en temps, un noyau stellaire de 12<sup>e</sup> grandeur, au plus, perce le centre de la nébulosité cométaire.

Comète 1911c (*Brooks*). 1911 Sept. 18. La comète est très étendue; la tête possède une concentration ou un noyau stellaire très intense. Une pose de une heure donne un cliché qui montre la tête sous forme d'une nébuleuse de 20' à 22' de diamètre. Il s'en dégage une queue très al-

longée, presque rectiligne, avec quelques ondulations soit en direction, soit en intensité. A la base, quelques jets assez intenses accompagnent le jet principal. La longueur de la queue atteint et dépasse le bord du cliché, ce qui lui donne une longueur de plus de 4 degrés. Cette forme générale s'est maintenue pendant toute son apparition. Clichés d'une heure pris les 18, 25, 26 et 27 Septembre.

Comète 1911f (*Quénisset*). L'aspect de cette comète est une réduction en petit, une miniature de la comète précédente. Queue très fine, rectiligne d'un degré et demi de longueur, avec quelques jets secondaires très déliés. Le 25 Septembre une étoile faible se confond avec le noyau; elle s'en sépare vers la fin des observations. Clichés photographiques de une heure les 18, 20 et 24 Octobre.

Genève, 1912 Mai.

*J. Pidoux*, astronome.

Observations de la Comète *Borrelly* 1911e

faites à l'Equatorial coudé (0.32 m) de l'Observatoire d'Alger par MM. *F. Gonnessiat*, *C. Rambaud* et *F. Sy*.

1911-12	T.m.d'Alger	$\Delta\alpha$	$\Delta\delta$	Cp.	Obs.	$\alpha$ app.	$\log p\Delta$	$\delta$ app.	$\log p\Delta$	Red. ad l. app.	*
Déc. 22	9 <sup>h</sup> 9 <sup>m</sup> 47 <sup>s</sup>	+0 <sup>m</sup> 12 <sup>s</sup> 89	+ 0' 44".0	12,12	S	2 <sup>h</sup> 43 <sup>m</sup> 6 <sup>s</sup> 04	8.763	+ 9° 52' 22".8	0.598	+3 <sup>s</sup> 47 +20".0	1
23	9 8 28	- 0 1.17	- 2 18.1	12,12	S	2 42 50.24	8.806	+10 55 27.1	0.583	+3.48 +20.3	2
26	8 45 27	+0 6.41	- 0 6.5	12,12	S	2 42 26.11	8.623	+13 59 28.1	0.530	+3.49 +21.0	3
28	8 28 48	-0 9.73	+ 0 31.8	12,12	S	2 42 28.64	8.476	+15 58 0.3	0.491	+3.50 +21.5	4
29	8 28 39	+0 9.36	+ 1 7.2	12,12	S	2 42 35.33	8.578	+16 56 11.4	0.472	+3.50 +21.8	5
30	10 10 15	+0 9.36	-11 23.9	12,12	S	2 42 46.73	9.394	+17 57 15.0	0.492	+3.51 +22.1	6
Janv. 10	9 4 35	-0 6.34	- 1 55.5	12,12	G	2 48 46.52	9.315	+27 18 19.1	0.225	+0.05 + 9.7	7
15	9 27 57	-0 28.91	- 1 24.1	12,12	S	2 53 52.64	9.469	+30 55 31.5	9.810	+0.01 +10.9	8
16	9 19 36	-0 9.19	+ 1 39.3	12,12	S	2 55 3.25	9.455	+31 35 48.3	0.114	0.00 +11.1	9
21	7 4 35	+0 19.07	- 5 31.9	12,12	S	3 1 41.59	7.698	+34 41 40.2	9.468	-0.04 +12.2	10
22	9 0 51	+0 4.80	+12 19.3	12,12	S	3 3 19.53	9.463	+35 19 52.7	9.876	-0.04 +12.4	11
23	9 17 31	-0 0.36	+ 8 1.5	12,12	S	3 4 54.59	9.523	+35 54 50.8	9.931	-0.05 +12.6	12
Févr. 4	7 35 4	-0 57.33	+ 9 20.5	12,12	S	3 27 33.71	9.226	+41 48 48.8	9.797n	+0.09 +14.8	13
9	10 41 58	+1 0.52	-13 23.3	12,12	S	3 39 22.05	9.773	+43 51 35.4	0.239	+0.12 +15.7	14